磷化碳钢上聚四氟乙烯涂层腐蚀行为

何吉喆1,刘明言1,2*

(1. 天津大学化工学院, 天津 300350; 2. 化学工程联合国家重点实验室(天津大学), 天津 300350)

摘要:以 20#碳钢样片为基底材料,采用浸渍提拉法,在经磷化的碳钢样片基底上,制备了膜厚为 $13(\pm 2)$ μm 的聚四氟乙烯疏水涂层,并对其物理化学性能和腐蚀情况进行了表征。结果表明,普通的磷化碳钢表面,其磷化颗粒晶体尺寸比较粗大,且颗粒分布不均匀;采用磁力搅拌的磷化碳钢表面,其磷化颗粒晶体尺寸细小而致密。所制备的磷化膜由 $Zn_3(PO_4)_2\cdot 4H_2O$ 、 $Zn_2Fe(PO_4)_2\cdot 4H_2O$ 和 $Mn_2Zn(PO_4)_2\cdot 4H_2O$ 3 种物质组成,其中, $Zn_2Fe(PO_4)_2\cdot 4H_2O$ 为主要组分。聚四氟乙烯涂层的主要组分是聚四氟乙烯和少量的四氟乙烯。浸泡 5d 后 PTFE 涂层对 3.5%NaCl 溶液的屏蔽作用显著减弱,涂层的耐蚀性大幅下降,结合涂层样片的交流阻抗谱和等效电路拟合结果对 PTFE 涂层在 3.5%NaCl 溶液中的腐蚀机理进行了分析。

关键词:碳钢;磷化;聚四氟乙烯;腐蚀

金属腐蚀不仅会给工业生产带来严重的问题,而且也会造成严重的经济损失。防腐涂层可显著提高材料的耐蚀性能,是最有效和经济的防腐方法。

聚四氟乙烯(PTFE)又称塑料王,是以四氟乙 烯(TFE)作为单体聚合制得的聚合物。PTFE 是用 量最大的氟塑料,全球每年消耗的 PTFE 量约占 氟碳树脂总量的 70%。PTFE 具有高度的化学稳定 性、抗酸碱性、不黏性、润滑性、防腐性及优良的 抗老化性,在氟碳防腐涂料中有着十分广泛的应 用。Zhang 等将聚多巴胺(PDA)的亚层涂覆在不 锈钢基底材料上,提高了基底的黏附性和反应性 能;又采用浸涂方法将 TiO2-PTFE 溶胶均匀地沉 积在 PDA 亚层上,制备了 TiO₂-PTFE 涂层。结果 显示,与单独 TiO2或 PTFE 涂层相比, TiO2-PTFE 涂层对革兰氏阴性大肠杆菌和革兰氏阳性金黄色 葡萄球菌具有更小的细菌黏附力,并且在人工体 液中具有更好的相容性与耐蚀性,为目前如何将 金属材料植入人体体内提供了很重要的参考价 值。田军等将经 y 射线辐照的 PTFE 颗粒混入聚 氨酯树脂中,制备了耐磨性和耐水性优异的 PTFE-聚氨酯复合涂层。Shoeib 将 PTFE 颗粒悬浮 在瓦特镍浴(Watts bath)中,通过电镀的方法得到 了含氟聚合物镍电沉积复合涂层,结果显示,加

入 PTFE 颗粒后,涂层耐磨性及耐蚀性得到很大改善。

由于 PTFE 极低的表面活性和不黏性,使其 无法直接涂覆在金属等材料基底表面作为防腐涂 料。PTFE 在防腐涂料中的应用,常常需要对基底 进行特定预处理,或者采用特殊的方法对 PTFE 进行改性。工业上对 PTFE 的改性方法有气相高 温熔融、等离子体处理和激光射线辐射等。但是, 采用上述改性工艺需要特定的设备、苛刻的条件 和较长的周期,成本昂贵。金属表面的磷化处理是 金属腐蚀防护的一种措施。磷化处理工艺简单、容 易操作、成本低,常常被用作缓蚀和底漆处理。因 此,采用合适的简单前处理技术,如金属表面磷化 技术,可使 PTFE 有效涂覆在特定的金属等材料 基底上,这对充分发挥 PTFE 在防腐中的应用,具 有重要意义。本研究以碳钢样片为基底,采用碳钢 磷化工艺方法,在碳钢基底上有效地涂覆聚四氟 乙烯涂层,借助于现代分析测试技术研究碳钢金 属材料涂层物理化学性质和耐腐蚀行为,以期为 廉价易得的碳钢寻找有效防腐方法。

1 实验材料和方法

1.1 实验材料和试剂

20#碳钢样片[尺寸: 40mm×13mm×2mm; 成

分(质量分数): 0.17% ~ 0.23% C, 0.17% ~ 0.37% Si, 0.35% ~ 0.65% Mn, ≤0.25% Cr, ≤0.30% Ni, ≤0.25% Cu, ≤0.035% P, ≤0.035% S, 余量为 Fe], 扬州祥伟机械有限公司; 聚四氟乙烯 PTFE 乳液, 天津元立化工有限公司, 主要组成为 PTFE 颗粒及 N-甲基吡咯烷酮(溶剂); 氧化锌、磷酸(质量分数为 85%, 下同)、硫酸羟胺、六水合硝酸锌、硝酸锰(质量分数为 50%)和氢氧化钠等化学试剂, 除特殊说明外, 均为分析纯, 天津凯玛特化工科技有限公司; 氯化钠、无水乙醇, 分析纯, 天津凯玛特化工科技有限公司; 去离子水, 天津市西青区永清源蒸馏水经营部。

1.2 分析测试仪器

氮气保护马弗炉(KSXQ-6-14 型,宜兴市飞达电炉有限公司),集热式恒温加热磁力搅拌器(DF-101S 型,天津星科仪器有限公司);场发射扫描电子显微镜(S4800 型,日本 Hitachi);便携式精密pH 计(PHS-3E 型,上海仪电科学仪器股份有限公司),傅里叶红外光谱仪(iS50 型,美国尼高力仪器有限公司);X 射线衍射仪(D8 Advanced 型,布鲁克科技有限公司);电热鼓风干燥箱(GZX-9076MBE 型,上海博迅实业有限公司医疗设备厂);浸渍提拉机(SYDC-100 型,上海三研实验仪器有限-公司);电子分析天平(AUY120 型,日本Shimadzu公司);电化学工作站(Zennium型,德国ZAHNER);磁性涂层测厚仪(GM210 型,深圳标智仪表有限公司)。

1.3 聚四氟乙烯涂层的制备

1)碳钢基底前处理:首先采用 200 目与 600 目的砂纸打磨 20#碳钢样片,直至碳钢基底表面平整光滑,无明显划痕。然后,将碳钢基底依次在蒸馏水和无水乙醇中超声清洗 10min,取出样片后,用去离子水冲洗干净,晾干备用。

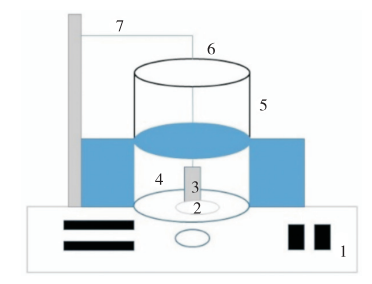
2) 磷化液配制: 向烧杯中加入 14g 的氧化锌和蒸馏水,然后,加入 50%的磷酸溶液,搅拌 24h,向搅拌好的溶液中加入硫酸羟胺、六水合硝酸锌和硝酸锰(50%)作为促进剂,搅拌均匀,最后加入蒸馏水定容,即可得到所要的磷化液。磷化液各组分含量如表 1 所示。

3) 普通磷化: 在 30 ℃下, 将清洗好的碳钢样 片浸入含有磷化液的烧杯中, 30 min 后取出样片, 用蒸馏水冲洗干净,晾干后,即得普通磷化的碳钢 样片。

4) 磁力搅拌磷化:将碳钢样片浸入磁力搅拌 装置中,使其在磁力搅拌的磷化液中进行磷化, 30 min 后取出样片,用蒸馏水冲洗干净,晾干后, 即得辅助以磁力搅拌的磷化碳钢样片。实验装置 如图 1 所示,由集热式恒温加热磁力搅拌器、烧杯 和搅拌子等组成。

表 1 磷化液组成

组分	浓度/(g・L ⁻¹)
氧化锌	14
磷酸	70
硫酸羟胺	8
六水合硝酸锌	70
硝酸锰	7



- 1-Collecting thermostatic heating magnetic stirrer;
- 2-Stirring rotor; 3-Carbon steel sample; 4-Phosphating solution; 5-Beaker; 6-Plastic wire; 7-Tube clamp

图 1 辅助以磁力搅拌的碳钢样片的磷化实验装置

5) PTFE 涂层制备: PTFE 涂层是由浸渍提拉镀膜工艺制备。首先用浸渍提拉镀膜机,将经过磁力搅拌磷化的碳钢样片浸入聚四氟乙烯乳液中,设置镀膜机下降速度为 $1500\mu m \cdot s^{-1}$,浸渍时间为 60s,提拉速度 $1000\mu m \cdot s^{-1}$,镀膜次数为 1 次。晾干后,将样片放入氮气保护马弗炉中,设置马弗炉温度为 260° 、升温速度 6° · min · 恒温时间 2h,自然降温后取出样片,即可在磷化碳钢表面得到 PTFE 涂层。

1.4 电化学测试

通过电化学工作站对 PTFE 涂层进行电化学 阻抗谱(Electrochemical Impedance Spectroscopy, EIS)测试,考察 PTFE 涂层的耐蚀性。测试时采用 三电极系统,以涂覆 PTFE 涂层的碳钢样片为工 作电极,银/氯化银/饱和氯化钾电极(SSE)为参比电极,石墨电极为对电极。工作电极测试面积为 1cm²,电解液为 3.5%NaCl 溶液,测量信号是振幅

为 10mV 的正弦交流电,测试的频率范围 10mHz~100kHz。采用 ZSimpWin 软件对 EIS 数据进行等效电路拟合,以进一步分析 PTFE 涂层的防腐性能及腐蚀机理。

2 实验结果与讨论

2.1 涂层厚度

由涂层测厚仪可以得到聚四氟乙烯涂层厚度。涂层测厚仪是根据电磁感应法来测量涂层的厚度。打开涂层测厚仪,将涂层测厚仪的测量探头放置在涂层样片表面,形成闭合的磁回路,在待测样片上移动测厚仪的探针,改变磁回路进而引起磁阻及探头线圈电感的变化。此时探针与待测样品间的距离即为涂层厚度。由涂层测厚仪可得到,在磷化碳钢上,聚四氟乙烯涂层的厚度为 13(±2)μm,说明通过浸渍提拉的方法,在磷化碳钢上形成的聚四氟乙烯涂层较薄。

2.2 涂层宏观与微观形貌

图 2 是 20#碳钢、普通磷化碳钢涂层、磁力搅拌磷化涂层、聚四氟乙烯涂层及在 3.5% NaCl 溶液中浸泡 5d 的聚四氟乙烯涂层的数码照片。

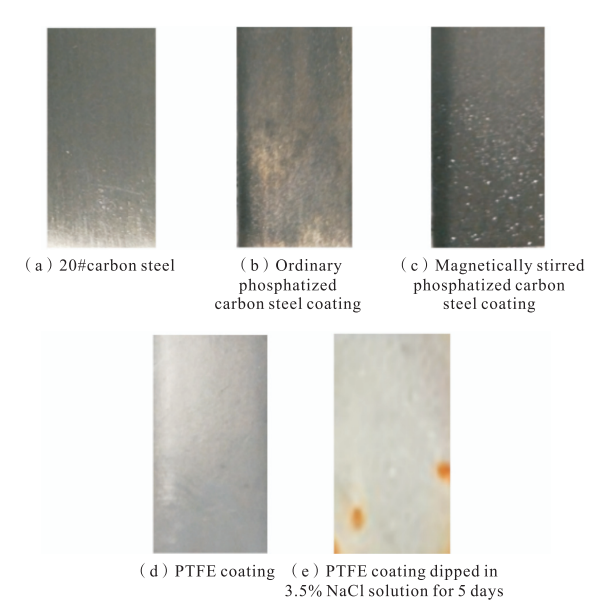
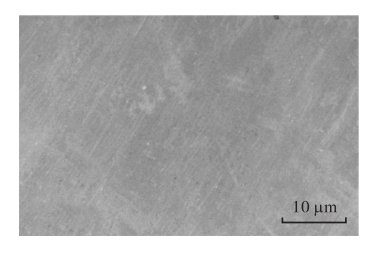


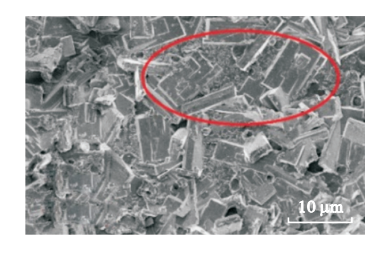
图 2 碳钢样片及制备的涂层样片照片

图 3 依次是碳钢表面、普通磷化碳钢涂层、磁力搅拌的磷化涂层、PTFE 涂层、在 3.5%NaCl 溶液中浸泡 5d 的 PTFE 涂层的微观形貌图。

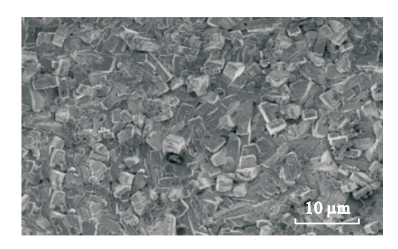
由图 2(a) 与图 2(b) 可以看到, 碳钢样片经过



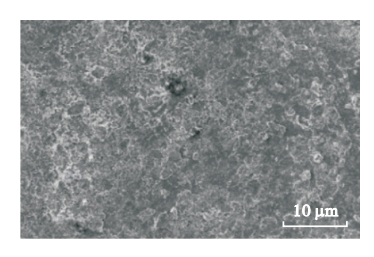
(a) 20#carbon steel



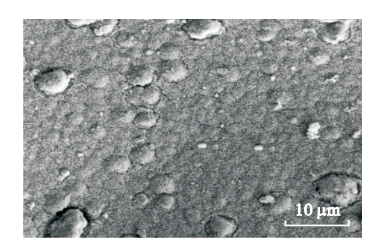
(b) Ordinary phosphatized carbon steel coating



(c) Magnetically stirred phosphatized carbon steel coating



(d) PTFE coating



(e) PTFE coating dipped in 3.5% NaCl solution for 5 days 图 3 碳钢样片及制备的涂层微观形貌

磷化处理后,在其表面会形成 1 层黑色的磷化膜;由图 2(b)与图 2(c)可以看到,普通磷化之后的碳钢磷化涂层在碳钢表面分布很不均匀,而经过磁力搅拌形成的磷化涂层就比较均匀,而且具有更黑的磷化涂层。由图 2(c)与图 2(d)可以看到,通过浸渍提拉镀膜机,可以将 PTFE 均匀地覆

盖在碳钢表面上的磷化涂层上,形成 1 层白色并且表面十分光滑的 PTFE 涂层。由图 2(e)可以看到,PTFE 涂层在 3.5%NaCl 溶液中浸泡 5d 后,涂层表面已经出现锈蚀,说明此时涂层已经受到一定程度的破坏,基底的碳钢开始腐蚀。

由图 3(b)可以看到普通磷化碳钢涂层上磷化 颗粒比较粗大,不均匀,并且可以看到部分碳钢基 底裸露出来。图 3(c)可以看到,磁力搅拌磷化碳 钢涂层上磷化颗粒更加细小致密,使磷化涂层可 以完全均匀地覆盖在碳钢上,并且磁力搅拌的磷 化碳钢涂层的结晶间的孔隙更小,结晶尺寸小于 普通磷化碳钢的结晶尺寸。这是因为磁力搅拌的 磷化涂层与普通磷化碳钢涂层相比,磁力搅拌可 以加强磷化液的扰动,使碳钢样片在磷化液中快 速均匀反应。聚四氟乙烯具有良好的密封性,由图 3(d)PTFE 涂层的微观形貌可以看到,在整个碳钢 基底上,已经无法观测到磷化颗粒,同时涂层变得 更加平整,这说明所制备的聚四氟乙烯涂层已经 完全均匀地覆盖在了磷化碳钢的表面。由图 3(e) 可以看到,聚四氟乙烯涂层在 3.5%NaCl 溶液中浸 泡 5d 后,水分子慢慢渗透过 PTFE 涂层,使其变 得疏松,涂层出现了圆形裂缝和凹陷,说明 PTFE 涂层已经受到破坏,涂层耐蚀性下降。

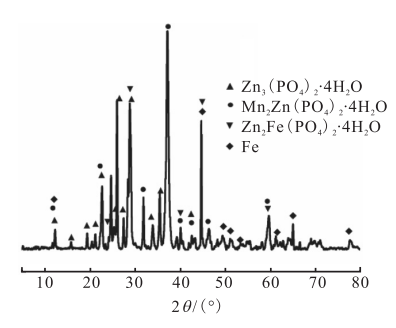


图 4 磁力搅拌下磷化碳钢涂层 XRD 图

2.3 磷化膜主要组分

碳钢上形成的磷化膜的 X 射线衍射(X-Ray Diffraction, XRD)分析结果如图 4 所示图。

由图 4 可以看出,磷化碳钢涂层主要由 $Zn_3(PO_4)_2\cdot 4H_2O$ 、 $Zn_2Fe(PO_4)_2\cdot 4H_2O$ 和 $Mn_2Zn(PO_4)_2\cdot 4H_2O$ 3 种 晶 相 组 成 。 $Zn_3(PO_4)_2\cdot 4H_2O$ 与 $Zn_2Fe(PO_4)_2\cdot 4H_2O$ 是由氧化 锌 与 碳 钢 基 底 上 的 铁 参 与 成 膜 , $Mn_2Zn(PO_4)_2\cdot 4H_2O$ 是由磷化液中的锰离子参与

成膜形成的。

碳钢上磷化膜的能谱(Energy Dispersive Spectrometer, EDS)元素分析结果如表 2 所示。

表 2 由 EDS 得到磁力搅拌磷化涂层的元素组成

• • • • • • • • • • • • • • • • • • • •						
元素	О	P	Mn	Fe	Zn	
w/%	39.20	18.33	1.13	2.09	39.25	

从表 2 可以看到,磷化涂层主要由 $O \ P \ Fe \ Mn$ 和 Zn 5 种元素组成,其相应的质量分数分别为 39.2%、18.33%、1.13%、2.09%和 39.25%。通过计算可以得到,锌元素与磷元素的物质的量之比约为 1,由于磷化液中的锰元素含量很低,在计算磷化膜主要组分时, $Mn_2Zn(PO_4)_2$ · $4H_2O$ 的含量忽略不计。结合 XRD 分析结果:磷化涂层主要由 $Zn_3(PO_4)_2$ · $4H_2O$ 、 $Zn_2Fe(PO_4)_2$ · $4H_2O$ 和 $Mn_2Zn(PO_4)_2$ · $4H_2O$ 3 种晶相组成,通过计算可以得到,磷化涂层中的 $Zn_2Fe(PO_4)_2$ · $4H_2O$ 含量是要远高于 $Zn_3(PO_4)_2$ · $4H_2O$ 的含量。所以可以得到碳钢上的磷化煤中的主要组分为 $Zn_2Fe(PO_4)_2$ · $4H_2O$ 。

2.4 PTFE 涂层 FTIR 分析

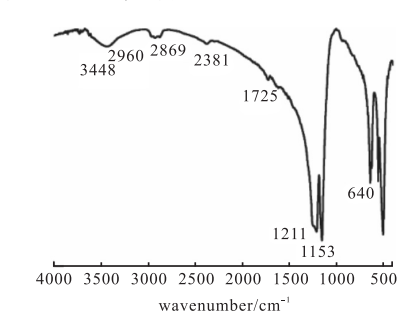


图 5 聚四氟乙烯涂层的 FTIR 图

聚四氟乙烯的傅里叶红外光谱(Fourier Transform infrared spectroscopy, FTIR)如图 5 所示。

图 5 中出现在波数 3 439 cm⁻¹ 的吸收峰,表示的是-OH 的伸缩振动峰^[30];波数为 2 869~2 960 cm⁻¹ 的吸收峰是 C-H 基团的伸缩振动峰^[31];波数为 2 381 cm⁻¹ 的吸收峰是-C=C-的累积双键的不对称性伸缩振动峰^[31-32]。由于四氟乙烯和聚四氟乙烯存在如下化学反应方程式: $nF_2C=CF_2\longleftarrow$ (— CF_2 — CF_2) $_n$ —,—C=C—的存在并且其对应的峰很弱,说明 PTFE 涂层表面存在者少量的四氟乙烯;波数为 1211cm⁻¹ 及 1153cm⁻¹ 的吸收峰是

聚四氟乙烯中 C一F 的伸缩振动峰及 C-C 的骨架伸缩振动峰; 波数为 640cm^{-1} 的吸收峰是 C-H 基团的弯曲振动峰^[32], 由此可说明, 通过浸渍提拉在磷化碳钢样片上形成的聚四氟乙烯, 经过 $260 \degree$ C的热处理后形成了良好的 PTFE 涂层。

2.5 PTFE 涂层表面润湿性

由光学接触角测量仪(CA20,德国 Dataphyscs)对碳钢样片与聚四氟乙烯涂层样片进行了静态接触角测量。用 1μL 的纯水在碳钢样片与聚四氟乙烯涂层样片上的接触角结果如图 6 所示。



图 6 纯水在样片表面润湿行为

由测量结果得到,碳钢表面的接触角是 70.6 ±0.5)。PTFE 涂层样片的接触角是 140.9(±1.8)。, 属于疏水材料,近年来,疏水材料在腐蚀防护方面 的研究是关注的热点。与碳钢样片相比,PTFE 涂 层具有良好的疏水性,因此 PTFE 涂层可以提升 碳钢的耐蚀性。

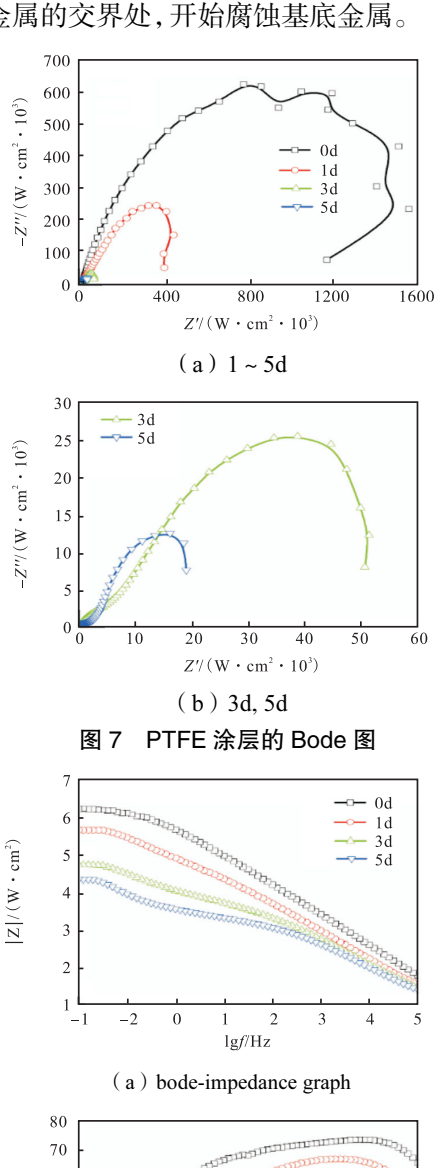
2.6 PTFE 涂层 EIS 分析

将 PTFE 涂层样片组装在测试装置中,向其中加入一定量的 3.5%NaCl 溶液,由电化学工作站测量 PTFE 涂层在不同浸泡时间的电化学阻抗谱。图 7 为 PTFE 涂层在 3.5% NaCl 溶液中浸泡 0.1.3 和 5d 的 Bode 图。表 3 为 PTFE 涂层在 3.5%NaCl 溶液中不同浸泡时间的低频 (f=0.01Hz)阻抗模值。

从图 7(a) Bode-阻抗模值图中可以看到, PTFE 涂层常温下在 3.5% NaCl 溶液中浸泡不同的时间时, PTFE 涂层的阻抗模值变化十分明显。 当 PTFE 涂层刚浸入 3.5% NaCl 溶液中时(0d), PTFE 涂层具有最高的阻抗模值。随着 PTFE 涂层浸泡时间越来越长,高频区与低频区涂层的阻抗模值均逐渐减小。

从图 7(b) Bode-相位角图中可以看到,4 条曲线在高频段均存在相位角的特征峰。由此说明, PTFE 涂层在 3.5% NaCl 溶液中浸泡时,也可以很好地存在。在高频区,随着浸泡时间增长,涂层的相位角逐渐降低,也说明涂层的耐蚀性正在随着

时间变化逐渐减弱。PTFE 涂层在 3.5% NaCl 溶液中浸泡 0d 时, PTFE 涂层的 bode-相位角图只有 1个特征峰, 说明此时涂层没有发生界面腐蚀。当浸泡时间为 1d 时, PTFE 涂层的 Bode-相位角图出现了 2个特征峰, 说明涂层在 3.5% NaCl 溶液中浸泡 1d 时, 已经有部分腐蚀介质渗透到了涂层与基底金属的交界处, 开始腐蚀基底金属。



(b) bode-phase angle graph 图 8 PTFE 涂层的 Nyquist 图

表 3 聚四氟乙烯涂层在 3.5% NaCl 溶液中不同浸泡时间的 | Z_{0.01Hz} |

涂层浸泡时间/d	涂层阻抗模值 Z _{0.01Hz} /(Ω·cm ⁻²)
0	1.7×10 ⁶
1	4.6×10 ⁵
3	5.3×10 ⁴
5	2.3×10^{4}

由表 3 可以看到,在 0.1.3 和 5d 的浸泡时间,涂层的阻抗模值分别为 $1.7 \times 10^6.4.6 \times 10^5.5.3 \times 10^4$ 和 2.3×10^4 $\Omega \cdot \text{cm}^2$,与涂层浸泡时间为 0 d 的低频阻抗模值进行比较,浸泡 1.3 和 5d 时,涂层的阻抗模量分别下降了 72.9%.96.9% 和 98.6%。由此说明, PTFE 涂层的耐蚀性也随着浸泡时间越来越长而逐渐减小。

图 8 为 PTFE 涂层在 3.5% NaCl 溶液中浸泡 浸泡不同时间的 Nyquist 图。其中, PTFE 涂层在 3.5% NaCl 溶液中浸泡 3 和 5d 的 Nyquist 图被放 大在图 8 中。

从图 8 中可以看到,随着时间流逝,PTFE 涂层的阻抗弧持续缩小,这是由于随着浸泡时间越来越长,PTFE 涂层表面,与基底碳钢接触,使其发生腐蚀。涂层逐渐被破坏,腐蚀介质已经渗透过了。

2.7 等效电路拟合

为了更好阐述 PTFE 涂层在 3.5% NaCl 溶液中浸泡不同时间的防腐效果的定量变化,采用 ZSimpWin 软件对 2.6 中的电化学阻抗谱进行等效电路模拟。PTFE 涂层在 3.5% NaCl 溶液中浸泡不同时间的电化学阻抗谱图均采用 $R_s(Q_cR_c)$ ($Q_{dl}R_{ct}$)等效电路模型拟合。 $R_s(Q_cR_c)$ ($Q_{dl}R_{ct}$)模型的电路图如图 9 所示。

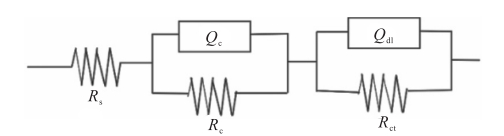


图 9 用于拟合 PTFE 涂层 EIS 数据的等效电路模型

根据等效电路模型 $R_s(Q_cR_c)(Q_{dl}R_{ct})$, 在 3.5% NaCl 溶液中浸泡不同时间的 PTFE 涂层进行等效 电路模拟,可以得到相应等效电路参数,具体参数 如表 4 所示。

从表 4 中可以看出,随着涂层在 3.5% NaCl 溶液中持续的浸泡,PTFE 涂层的涂层电阻 R_c 、电

表 4 不同浸泡时间的 PTFE 涂层等效电路模拟数据

浸泡	Q_{c} /	$R_{ m c}$	$Q_{ m dl}/$	$R_{\rm ct}$ /
时间/d	$(s^{^{-n}}\boldsymbol{\cdot} cm^{^{-2}}\boldsymbol{\cdot} \Omega^{^{-1}})$	$(\Omega \boldsymbol{\cdot} cm^2)$	$(s^{-n} \cdot cm^{-2} \cdot \Omega^{-1})$	$(\Omega \boldsymbol{\cdot} cm^2)$
0	5.98×10 ⁻⁷	5.62×10 ⁵	7.42×10 ⁻⁷	6.96×10 ⁵
1	3.99×10^{-6}	7.36×10^{4}	4.17×10 ⁻⁶	1.76×10^{5}
3	3.93×10 ⁻⁵	1.02×10^4	5.48×10 ⁻⁵	4.24×10^{3}
5	9.22×10 ⁻⁵	2.23×10^{3}	4.48×10 ⁻⁴	1.34×10^{3}

荷转移电阻 R_{ct} 均逐渐减小,由此说明, PTFE 涂层 的耐蚀性也在逐渐降低。随着在 3.5% NaCl 溶液 中持续浸泡, PTFE 涂层的涂层电容 Q_c 、双电层电 容 Od 逐渐增大,说明随着在 NaCl 溶液中不断浸 泡,溶液中的腐蚀介质和水已经渗入到了涂层和 涂层与金属基底的界面交界处,使电解质在涂层 和基底界面的持续聚集,逐渐破坏涂层,进而使 Qc、Qdl 增大。当 PTFE 涂层在 3.5% NaCl 溶液中 浸泡 0d 时, PTFE 涂层的涂层电阻 R_c 达 $5.62 \times$ $10^5 \Omega \cdot \text{cm}^2$, 电荷转移电阻 R_{ct} 为 $6.96 \times 10^5 \Omega \cdot \text{cm}^2$, 表现出了较好的耐蚀性。值得注意的是,PTFE涂 层在 3.5% NaCl 溶液中浸泡 5d 时, PTFE 涂层的 涂层电阻 $R_c(R_c = 2300\Omega \cdot cm^2)$ 几乎等同于文献中 [32]碳钢的极化电阻 $(R_p = 1800\Omega \cdot cm^2)$, 并且浸泡 5d 后的 PTFE 涂层表面,已经出现了黄色的腐蚀 产物,说明此时 PTFE 涂层基本已经丧失了对基 底金属的保护作用。

3 结 论

采用金属磷化技术对 20#碳钢样片进行预处 理,通过浸渍提拉镀膜机成功在磷化碳钢样片上 制备了 PTFE 涂层。考察了涂层的主要组分、亲疏 水性及耐蚀性,得到下面的结论。

1) SEM 结果显示,普通浸渍磷化碳钢表面,磷化颗粒晶体尺寸比较粗大,分布也不均匀,而采用磁力搅拌磷化碳钢样片表面,磷化晶体颗粒尺寸细小而致密,并且磁力搅拌磷化涂层的晶间孔隙更小,晶体尺寸小于普通磷化碳钢的晶体尺寸。由 XRD 和 EDS 分析可以得到,磷化涂层是由 $Zn_3(PO_4)_2$ · $4H_2O$ 、 $Zn_2Fe(PO_4)_2$ · $4H_2O$ 和 $Mn_2Zn(PO_4)_2$ · $4H_2O$ 3 种物质组成,其中磷化涂层主要组分为 $Zn_2Fe(PO_4)_2$ · $4H_2O$ 。

2)由 FTIR 图谱分析 PTFE 涂层的主要物质 是聚四氟乙烯和少量的四氟乙烯;接触角测量结 果显示, PTFE 涂层是静态接触角为 140.9(±1.8)°

的疏水防腐涂层。

3)通过涂层测厚仪得到 PTFE 涂层膜厚为 13(±2)μm,比一般环氧树脂类涂层膜厚小。随着在腐蚀介质中的浸泡,涂层也更容易被破坏,防腐效果持续性较差。通过对 PTFE 涂层的交流阻抗谱分析和等效电路拟合可以得到,随着 PTFE 涂层在 3.5% NaCl 溶液中持续浸泡,涂层的低频阻

抗模值、涂层电阻及电荷转移电阻均逐渐降低,说明浸泡时间越长,涂层耐蚀性也在逐渐降低。

研究结果对于海水、卤水、地热水等介质的腐蚀控制,可以提供有价值的技术参考。

参考文献略

转自《化学工业工程》

官宣: 雄安总储量 377 亿立方米

(人民雄安网)

据中国雄安官网消息,雄安新区地热流体总储存量 377 亿立方米,其中容城地热田 30 亿立方米、牛驼镇地热田 125 亿立方米、高阳地热田 222 亿立方米。在采灌均衡条件下,地热流体可采量为4 亿立方米/年。地热流体年可开采热量 10104 万吉焦,其中馆陶组热储 2222 万吉焦/年,蓟县系热储 7742 万吉焦/年,其它热储 140 万吉焦/年。全区浅层地热能赋存条件较好,地源热泵换热总功率夏季 983 万千瓦,冬季 552 万千瓦,总换热能力折合标准煤 400 万吨/年。

地下水资源主要赋存于第四系和新近系明化镇组中,浅层地下水总体质量较好,深层地下水质量优良,存在多处富锶矿泉水点,锶、碘、偏硅酸和矿化度均达到国家矿泉水饮用标准。现有 2 处矿泉水水源地探明可采资源量为 1720 立方米/日。

雄县耕地面积 39979 公顷。境内石油、矿泉水、地热水等自然资源丰富。境内有油井 1266 口(包括长停井),年产原油 48 万吨左右。矿泉水总储量 4 亿吨左右,水中的碘、锂、锶、偏硅酸及矿化度均达到国家饮用天然矿泉水标准,被鉴定为"国内少见的优质矿泉水"。地热资源具有面积广、储量大、埋藏浅、温度高、水质优等特点,地热

田覆盖面积 320 平方公里,占县域总面积的 61%, 总储量 821.87 亿立方米,热储埋深在 500-1200 米,出水温度 55℃~86℃,矿化度 1112 毫克/升, 并且富含锂、锶、碘、锌、钾等多种微量元素,达到 国家医疗热矿水标准,号称"华北之冠"。2006 年 3 月和 2011 年 12 月,先后被中国矿业联合会和国 土资源部命名为"中国温泉之乡"。

容城县原有耕地面积 30.68 万亩,城镇、村及工矿用地 10.3 万亩。容城地热田位于安新至白沟镇一带,为牛驼镇断凸与容城断凸的边界,其热储类型主要为基岩岩溶裂隙热储,具有储量大、可回灌等重要特点,是华北地区具有代表性的地热田。容城县城内可采地热资源总量为 8.149×1016J,相当于标准煤 506 万吨。其中明化镇组热储地热流体可采热资源量为标准煤 38.2 万吨。基岩热储开采 50 年降 1℃时的热资源量标准煤 467.8 万吨。雄安新区设立以来,加大对白洋淀的生态保护力度,淀内鱼、虾、蟹、贝、莲、藕等水生动植物资源丰富,野生鸟类不断增加。截至 2022 年 10 月,新区已观测到野生鸟类种类达 238 种,较雄安新区设立之前增加了 32 种。其中,国家一级重点保护鸟类 44 种。